

## بررسی و مقایسه خصوصیات الکترومغناطیس نانوکامپوزیت‌های اپوکسی – گرافن و اپوکسی –

### نانو لوله کربن

رحیم اقراء<sup>\*</sup><sup>۱</sup>، بهزاد محمدی<sup>۲</sup>، کمال جانقربان<sup>۳</sup> و محمد امین منتصری<sup>۴</sup>

### چکیده

در این پژوهش، تأثیر نanolوله‌های کربنی و تک لایه‌های گرافیت (گرافن) بر خصوصیات الکترومغناطیسی اپوکسی بررسی و با هم مقایسه گردید. برای انجام این کار، نمونه‌های نانوکامپوزیت‌های اپوکسی-گرافن و نانوکامپوزیت‌های اپوکسی-نانو لوله کربن تا ۰/۵ درصد وزنی (۰/۶۶ درصد حجمی) با استفاده از روش ریخته‌گری ساخته شدند. پس از آن، مورفولوژی و نحوه پخش تقویت کننده‌ها در زمینه به وسیله میکروسکوپ الکترونی روبشی بررسی شد. سپس خصوصیات الکترومغناطیس نمونه‌ها در باند X امواج الکترومغناطیس (۸ تا ۱۲GHz) به وسیله شبکه آنالیز کننده اسکالر اندازه‌گیری و مقایسه گردید. نتایج نشان داد که بخش حقیقی نفوذ پذیری الکتریکی اپوکسی خالص با اضافه کردن ۰/۵ درصد وزنی گرافن و نانو لوله کربنی به ترتیب به طور متوسط ۳۶ و ۱۶ درصد افزایش می‌یابد. مقدار متوسط بخش موهومی نفوذ پذیری الکتریکی نمونه نانوکامپوزیت با ۰/۵ درصد وزنی گرافن به ۰/۵ رسیده است که ۳ برابر نمونه نانوکامپوزیت با درصد برابر نانو لوله کربن و ۱۲/۵ برابر اپوکسی خالص است. فاکتور اتلاف نمونه نانوکامپوزیت با ۰/۵ درصد وزنی گرافن برابر ۰/۱۳ و نمونه نانوکامپوزیت با ۰/۵ درصد وزنی نانو لوله کربن برابر ۰/۰۴۵ به دست آمده است. همان‌گونه که نتایج نشان می‌دهند، گرافن به مرتب بیشتر از نانو لوله کربن خصوصیات الکترومغناطیس و فاکتور اتلاف اپوکسی را بهبود می‌بخشد.

واژه‌های کلیدی: گرافن، نانو لوله کربن، نانوکامپوزیت، اپوکسی، تداخل امواج الکترومغناطیس.

۱- پژوهشکده مکانیک پژوهشگاه فضایی ایران

۲- پژوهشگاه پلیمر و پتروشیمی ایران

۳- بخش مهندسی مواد- دانشکده مهندسی دانشگاه شیراز

۴- شرکت صنایع الکترونیک شیراز، بلوار میرزا شیرازی

\* نویسنده مسئول مقاله: eqra\_1343@yahoo.com

و الکترومغناطیسی، تحقیق و تولید نانو کامپوزیت‌های الکترومغناطیس و کاربرد آن‌ها در زمینه‌های مختلف، جذابیت زیادی را برای تحقیقات در دو دهه گذشته داشته است. مزیت این نانوکامپوزیت‌ها به دلیل استفاده از درصد وزنی کم از مواد نانو برای رسیدن به خصوصیات مورد نظر، حفظ مزایای پلیمر زمینه از جمله شکل‌پذیری و وزن کم می‌باشد. لازم به ذکر است که رسیدن به خصوصیات پیش‌بینی شده برای نانوکامپوزیت‌ها به پخش یکنواخت و پیوند سطحی بین تقویت کننده و زمینه بستگی دارد<sup>[۴]</sup>. نانولوله‌های کربنی و تک لایه‌های گرافیت (گرافن) دو نوع تقویت کننده از مشتقات کربن می‌باشند. گرافن در سال ۲۰۰۴ توسط گیم و همکارانش<sup>[۵]</sup> معرفی شد. می‌توان گفت که گرافن همان تک لایه‌های ساختار گرافیت است که به صورت یک یا چند لایه جدا شده‌اند و به صورت شبکه دو بعدی لانه زنبوری با طول پیوند ۱۴۲nm منظم شده است<sup>[۴]</sup>. گرافن دارای خصوصیات برجسته حرارتی، الکتریکی، مکانیکی و فیزیکی از جمله هدایت حرارتی، استحکام ۵,۰۰۰W/m.K، هدایت الکتریکی ۶,۰۰۰S/cm کششی ۱۳۰GPa است<sup>[۶]</sup>. هم‌چنین، سطح بسیار زیاد آوردن سطوح داخلی بسیار زیاد در نانوکامپوزیت با استحکام پیوند مناسب را دارد<sup>[۹,۷,۸]</sup>. ورقه ورقه کردن مکانیکی<sup>۹</sup>، رشد زیرلایه‌ای<sup>۱۰</sup>، رسوب شیمیایی بخار<sup>۱۱</sup> و احیای شیمیایی و حرارتی اکسید گرافن از روش‌های مرسوم تولید گرافن می‌باشند. در این میان، گرافن تولید شده با روش احیای حرارتی با ساختار عامل‌دار شده<sup>۱۲</sup> برای اعمال در کامپوزیت مناسب می‌باشد<sup>[۱۰]</sup>. نانولوله‌های کربنی به صورت ورقه‌های گرافیتی یا گرافنی هستند که حول محور افقی به صورت لوله دوران یافته است. از لحاظ تعداد لایه، نانولوله‌های کربنی می‌توانند به شکل‌های تک دیواره و یا چند دیواره وجود داشته باشند. یکی از خصوصیات مکانیکی مهم نانولوله‌های کربنی، استحکام کششی بسیار بالای آن‌ها است که نزدیک به بیش از ۱۰۰ برابر استحکام فولاد است. مطالعات تئوری

## پیشگفتار

پیشرفت‌های سریع و نزدیک شدن فرکانس کاری وسایل الکترونیکی به فرکانس‌های میکروویو، مطالعه خصوصیات الکترومغناطیسی مواد به کار رفته در قطعات الکترونیکی، مدارها، بسته‌بندی و جعبه بردهای الکترونیکی در این فرکانس‌ها لازم و ضروری می‌باشد. توسعه کاربرد قطعات الکترونیکی در فرکانس‌های میکروویو، اطلاع از خصوصیات انتقال الکتریکی در این فرکانس‌ها از قابلیت تحرک هال<sup>۱</sup> و دانسیته انتقال دهنده‌ها یا حمل کننده‌ها و از طرف دیگر خواص مواد مانند نفوذپذیری الکتریکی<sup>۲</sup> ( $\epsilon_j - \epsilon_e$ )، قابلیت نفوذ مغناطیسی<sup>۳</sup> ( $\mu_j - \mu_m$ ) و هدایت الکتریکی<sup>۴</sup> (۵) را لازم دارد. لازم به ذکر است که در روابط فوق<sup>۶</sup> و <sup>۷</sup>  $\mu$  بخش‌های حقیقی در ارتباط با ذخیره و <sup>۸</sup>  $\epsilon$  و <sup>۹</sup>  $\mu$  بخش‌های موهومی<sup>۱۰</sup> در ارتباط با اتلاف امواج الکترومغناطیس می‌باشند. هم‌چنین نسبت بخش موهومی به بخش حقیقی برابر فاکتور اتلاف<sup>۱۱</sup> ماده است<sup>[۱۲]</sup>. از طرف دیگر، نتایج تحقیقات مواد و شناسایی خواص الکترومغناطیس برای کاربردهای هوایی و فضایی، فتوولتایک، الکترونیک، حسگرهای کشاورزی، و مهندسی زیستی<sup>۱۲</sup> و به ویژه جلوگیری از تداخل امواج الکترومغناطیس<sup>۱۳</sup> و جذب امواج الکترومغناطیس (سیستم‌های رادار گریز)، سودمند و مفید می‌باشند<sup>[۱]</sup>. در چند دهه گذشته استفاده از مواد کامپوزیت پلیمری به دلیل وزن کم، استحکام خوب، سهولت در ساخت و هزینه کم با اضافه شونده‌هایی از قبیل مواد دی‌الکتریک، مغناطیس و هادی الکتریسته به صورت منفرد یا با هم و کاربرد آن‌ها به عنوان مواد الکترومغناطیس توجه محققین بسیاری را به خود معطوف کرده است<sup>[۱۳]</sup>. با دستیابی پژوهشگران به مواد نانو با خصوصیات خارق العاده به ویژه سطح مؤثر بسیار زیاد و دارا بودن ترکیب منحصر به‌فرد از خصوصیات الکتریکی، حرارتی، مکانیکی

1-Hall effect

2-Permittivity

3-Permeability

4-Real part

5-Imaginary part

6-Dissipation factor

7-Bio engineering

8-Electromagnetic interference shielding

9- Mechanical exfoliation

10- Epitaxial growth

11- Chemical vapor deposition (CVD)

12- Functionalize structure

کرده‌اند. جدا از این که حجم اطلاعات منتشرشده کم می‌باشد، گاهی اختلافاتی نیز در آن‌ها دیده می‌شود [۱۷، ۲۰]. از طرفی دیگر با توجه به تفاوت ساختاری موجود ما بین نانولوله کربنی و گرافن، گزارشی در ارتباط با میزان تأثیر آن در خصوصیات دیالکتریک نانو کامپوزیت‌های آن‌ها نشده است. در این تحقیق، گرافن به روش انبساط و احیای حرارتی تولید شد [۲۲] و نانولوله کربنی چند دیواره با خلوص ۹۵ درصد و با مشخصات طول  $30\text{ }\mu\text{m}$ ، قطر خارجی  $10\text{--}20\text{ nm}$  و قطر داخلی  $5\text{--}10\text{ nm}$ ، خریداری شد. برای ساخت نمونه‌های نانوکامپوزیت از رزین اپوکسی و روش ریخته‌گری استفاده شد. سپس با توجه به این‌که گرافن و نانولوله کربن خاصیت مغناطیسی ندارند، خصوصیات دیالکتریک و فاکتور اتلاف نمونه‌ها در باند X امواج الکترومغناطیس (۸ تا  $12\text{ GHz}$ ) اندازه‌گیری و مقایسه گردید.

## مواد و روش‌ها

### دستگاه‌ها

اسید سولفوریک، اسید نیتریک، کلرات پتانسیم، اسید هیدروکلریک، کلرید باریم و گرافیت برای سنتز گرافن از نمایندگی شرکت مرک آلمان در ایران خریداری شد. رزین اپوکسی با کد M506 و هاردنر پلی آمینی با کد HA11 از شرکت مواد مکرر خریداری گردید. مورفولوژی گرافن سنتز شده، نانولوله کربن خریداری شده و سطح شکست نانوکامپوزیت‌های اپوکسی جهت بررسی نحوه پخش نانولوله کربنی و گرافن در زمینه با کمک میکروسکوپ الکترونی روبشی "مدل S4160 FESEM، LEICA" ساخت شرکت Hitachi کشور ژاپن" و میکروسکوپ الکترونی روبشی "مدل CAMBRIDGE S360" بررسی گردید. برای اندازه گیری نفوذ پذیری الکتریکی از شبکه آنالیز کننده اسکالار "مدل 8757D" و سیگنال ژئاتور  $26.5\text{ GHz}$  "مدل 8363OL" استفاده شد.

و تحقیقات عملی، مدلول الاستیک بالاتر از یک تراپاسکال را برای نانولوله‌ها نشان می‌دهد. هم‌چنین، افزون بر خواص مکانیکی، نانولوله‌های کربنی از خواص الکتریکی، حرارتی و مغناطیسی ویژه‌ای نیز برخوردار هستند. از سوی دیگر چگالی کم و هدایت حرارتی بالا، سبب کاربرد گسترده آن‌ها در قطعات با نسبت استحکام به وزن بالا و به خصوص در کامپوزیت‌های پلیمری شده است [۱۳].

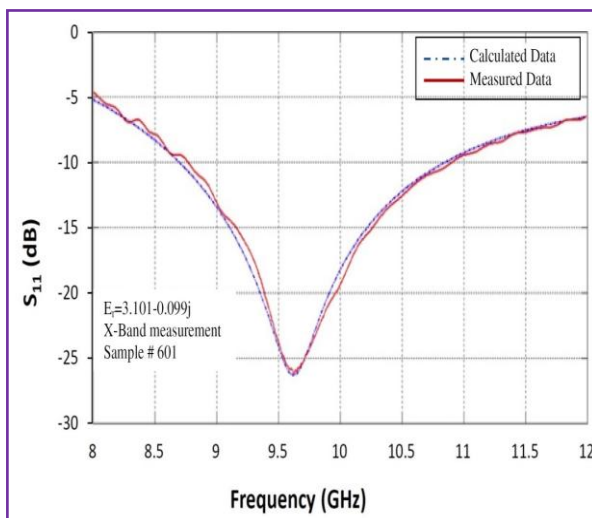
در دهه گذشته مطالعاتی بر روی خواص حفاظتی و خصوصیات الکترومغناطیس نانوکامپوزیت‌های پلیمری نانولوله کربن و گرافن انجام شده است [۱۴، ۲۱-۱۴]. برای مثال، صالح<sup>۱</sup> و همکارانش<sup>[۱۴]</sup> مکانیزم‌های حفاظت از تداخل امواج الکترومغناطیس نانوکامپوزیت‌های پروپیلن-نанولوله کربن را بررسی کرده و ضمن گزارش مکانیزم جذب به عنوان مکانیزم غالب حفاظت، مقدار حفاظت برای مقادیر زیر ۱ درصد وزنی نانولوله کربن را کمتر از  $5\text{ dB}$  گزارش کرده‌اند. آنجوکاپتا<sup>۲</sup> و همکارش<sup>[۱۶]</sup>، خصوصیات دیالکتریک و حفاظت از تداخل امواج الکترومغناطیس نانوکامپوزیت‌های پلی‌تری‌متیلن تری-فتالات - نانولوله کربن را در باند فرکانسی  $K(\text{GHz}) = \frac{1}{4\pi f}$  مورد بررسی قرار داده و برای  $0.5\text{--}0.004\text{ S/cm}$ ، بخش کربن، هدایت الکتریکی را برابر با  $0.02\text{--}0.05\text{--}0.08\text{--}0.12\text{ GHz}$  در فرکانس  $12\text{--}18\text{ GHz}$  و  $0.05\text{--}0.1\text{ GHz}$  در فرکانس  $18\text{ GHz}$  گزارش داده‌اند. هم‌چنین، دبلیز<sup>۳</sup> و همکارانش<sup>[۶]</sup> در تحقیقات خود گزارش کردند که برای نانوکامپوزیت‌های اپوکسی با ترکیب  $0.1\text{--}0.5\text{--}0.7\text{--}0.9\text{--}1.1\text{--}1.3\text{--}1.5\text{--}1.7\text{--}1.9\text{--}2.1\text{--}2.3\text{--}2.5\text{--}2.7\text{--}2.9\text{--}3.1\text{--}3.3\text{--}3.5\text{--}3.7\text{--}3.9\text{--}4.1\text{--}4.3\text{--}4.5\text{--}4.7\text{--}4.9\text{--}5.1\text{--}5.3\text{--}5.5\text{--}5.7\text{--}5.9\text{--}6.1\text{--}6.3\text{--}6.5\text{--}6.7\text{--}6.9\text{--}7.1\text{--}7.3\text{--}7.5\text{--}7.7\text{--}7.9\text{--}8.1\text{--}8.3\text{--}8.5\text{--}8.7\text{--}8.9\text{--}9.1\text{--}9.3\text{--}9.5\text{--}9.7\text{--}9.9\text{--}10.1\text{--}10.3\text{--}10.5\text{--}10.7\text{--}10.9\text{--}11.1\text{--}11.3\text{--}11.5\text{--}11.7\text{--}11.9\text{--}12.1\text{--}12.3\text{--}12.5\text{--}12.7\text{--}12.9\text{--}13.1\text{--}13.3\text{--}13.5\text{--}13.7\text{--}13.9\text{--}14.1\text{--}14.3\text{--}14.5\text{--}14.7\text{--}14.9\text{--}15.1\text{--}15.3\text{--}15.5\text{--}15.7\text{--}15.9\text{--}16.1\text{--}16.3\text{--}16.5\text{--}16.7\text{--}16.9\text{--}17.1\text{--}17.3\text{--}17.5\text{--}17.7\text{--}17.9\text{--}18.1\text{--}18.3\text{--}18.5\text{--}18.7\text{--}18.9\text{--}19.1\text{--}19.3\text{--}19.5\text{--}19.7\text{--}19.9\text{--}20.1\text{--}20.3\text{--}20.5\text{--}20.7\text{--}20.9\text{--}21.1\text{--}21.3\text{--}21.5\text{--}21.7\text{--}21.9\text{--}22.1\text{--}22.3\text{--}22.5\text{--}22.7\text{--}22.9\text{--}23.1\text{--}23.3\text{--}23.5\text{--}23.7\text{--}23.9\text{--}24.1\text{--}24.3\text{--}24.5\text{--}24.7\text{--}24.9\text{--}25.1\text{--}25.3\text{--}25.5\text{--}25.7\text{--}25.9\text{--}26.1\text{--}26.3\text{--}26.5\text{--}26.7\text{--}26.9\text{--}27.1\text{--}27.3\text{--}27.5\text{--}27.7\text{--}27.9\text{--}28.1\text{--}28.3\text{--}28.5\text{--}28.7\text{--}28.9\text{--}29.1\text{--}29.3\text{--}29.5\text{--}29.7\text{--}29.9\text{--}30.1\text{--}30.3\text{--}30.5\text{--}30.7\text{--}30.9\text{--}31.1\text{--}31.3\text{--}31.5\text{--}31.7\text{--}31.9\text{--}32.1\text{--}32.3\text{--}32.5\text{--}32.7\text{--}32.9\text{--}33.1\text{--}33.3\text{--}33.5\text{--}33.7\text{--}33.9\text{--}34.1\text{--}34.3\text{--}34.5\text{--}34.7\text{--}34.9\text{--}35.1\text{--}35.3\text{--}35.5\text{--}35.7\text{--}35.9\text{--}36.1\text{--}36.3\text{--}36.5\text{--}36.7\text{--}36.9\text{--}37.1\text{--}37.3\text{--}37.5\text{--}37.7\text{--}37.9\text{--}38.1\text{--}38.3\text{--}38.5\text{--}38.7\text{--}38.9\text{--}39.1\text{--}39.3\text{--}39.5\text{--}39.7\text{--}39.9\text{--}40.1\text{--}40.3\text{--}40.5\text{--}40.7\text{--}40.9\text{--}41.1\text{--}41.3\text{--}41.5\text{--}41.7\text{--}41.9\text{--}42.1\text{--}42.3\text{--}42.5\text{--}42.7\text{--}42.9\text{--}43.1\text{--}43.3\text{--}43.5\text{--}43.7\text{--}43.9\text{--}44.1\text{--}44.3\text{--}44.5\text{--}44.7\text{--}44.9\text{--}45.1\text{--}45.3\text{--}45.5\text{--}45.7\text{--}45.9\text{--}46.1\text{--}46.3\text{--}46.5\text{--}46.7\text{--}46.9\text{--}47.1\text{--}47.3\text{--}47.5\text{--}47.7\text{--}47.9\text{--}48.1\text{--}48.3\text{--}48.5\text{--}48.7\text{--}48.9\text{--}49.1\text{--}49.3\text{--}49.5\text{--}49.7\text{--}49.9\text{--}50.1\text{--}50.3\text{--}50.5\text{--}50.7\text{--}50.9\text{--}51.1\text{--}51.3\text{--}51.5\text{--}51.7\text{--}51.9\text{--}52.1\text{--}52.3\text{--}52.5\text{--}52.7\text{--}52.9\text{--}53.1\text{--}53.3\text{--}53.5\text{--}53.7\text{--}53.9\text{--}54.1\text{--}54.3\text{--}54.5\text{--}54.7\text{--}54.9\text{--}55.1\text{--}55.3\text{--}55.5\text{--}55.7\text{--}55.9\text{--}56.1\text{--}56.3\text{--}56.5\text{--}56.7\text{--}56.9\text{--}57.1\text{--}57.3\text{--}57.5\text{--}57.7\text{--}57.9\text{--}58.1\text{--}58.3\text{--}58.5\text{--}58.7\text{--}58.9\text{--}59.1\text{--}59.3\text{--}59.5\text{--}59.7\text{--}59.9\text{--}60.1\text{--}60.3\text{--}60.5\text{--}60.7\text{--}60.9\text{--}61.1\text{--}61.3\text{--}61.5\text{--}61.7\text{--}61.9\text{--}62.1\text{--}62.3\text{--}62.5\text{--}62.7\text{--}62.9\text{--}63.1\text{--}63.3\text{--}63.5\text{--}63.7\text{--}63.9\text{--}64.1\text{--}64.3\text{--}64.5\text{--}64.7\text{--}64.9\text{--}65.1\text{--}65.3\text{--}65.5\text{--}65.7\text{--}65.9\text{--}66.1\text{--}66.3\text{--}66.5\text{--}66.7\text{--}66.9\text{--}67.1\text{--}67.3\text{--}67.5\text{--}67.7\text{--}67.9\text{--}68.1\text{--}68.3\text{--}68.5\text{--}68.7\text{--}68.9\text{--}69.1\text{--}69.3\text{--}69.5\text{--}69.7\text{--}69.9\text{--}70.1\text{--}70.3\text{--}70.5\text{--}70.7\text{--}70.9\text{--}71.1\text{--}71.3\text{--}71.5\text{--}71.7\text{--}71.9\text{--}72.1\text{--}72.3\text{--}72.5\text{--}72.7\text{--}72.9\text{--}73.1\text{--}73.3\text{--}73.5\text{--}73.7\text{--}73.9\text{--}74.1\text{--}74.3\text{--}74.5\text{--}74.7\text{--}74.9\text{--}75.1\text{--}75.3\text{--}75.5\text{--}75.7\text{--}75.9\text{--}76.1\text{--}76.3\text{--}76.5\text{--}76.7\text{--}76.9\text{--}77.1\text{--}77.3\text{--}77.5\text{--}77.7\text{--}77.9\text{--}78.1\text{--}78.3\text{--}78.5\text{--}78.7\text{--}78.9\text{--}79.1\text{--}79.3\text{--}79.5\text{--}79.7\text{--}79.9\text{--}80.1\text{--}80.3\text{--}80.5\text{--}80.7\text{--}80.9\text{--}81.1\text{--}81.3\text{--}81.5\text{--}81.7\text{--}81.9\text{--}82.1\text{--}82.3\text{--}82.5\text{--}82.7\text{--}82.9\text{--}83.1\text{--}83.3\text{--}83.5\text{--}83.7\text{--}83.9\text{--}84.1\text{--}84.3\text{--}84.5\text{--}84.7\text{--}84.9\text{--}85.1\text{--}85.3\text{--}85.5\text{--}85.7\text{--}85.9\text{--}86.1\text{--}86.3\text{--}86.5\text{--}86.7\text{--}86.9\text{--}87.1\text{--}87.3\text{--}87.5\text{--}87.7\text{--}87.9\text{--}88.1\text{--}88.3\text{--}88.5\text{--}88.7\text{--}88.9\text{--}89.1\text{--}89.3\text{--}89.5\text{--}89.7\text{--}89.9\text{--}90.1\text{--}90.3\text{--}90.5\text{--}90.7\text{--}90.9\text{--}91.1\text{--}91.3\text{--}91.5\text{--}91.7\text{--}91.9\text{--}92.1\text{--}92.3\text{--}92.5\text{--}92.7\text{--}92.9\text{--}93.1\text{--}93.3\text{--}93.5\text{--}93.7\text{--}93.9\text{--}94.1\text{--}94.3\text{--}94.5\text{--}94.7\text{--}94.9\text{--}95.1\text{--}95.3\text{--}95.5\text{--}95.7\text{--}95.9\text{--}96.1\text{--}96.3\text{--}96.5\text{--}96.7\text{--}96.9\text{--}97.1\text{--}97.3\text{--}97.5\text{--}97.7\text{--}97.9\text{--}98.1\text{--}98.3\text{--}98.5\text{--}98.7\text{--}98.9\text{--}99.1\text{--}99.3\text{--}99.5\text{--}99.7\text{--}99.9\text{--}100.1\text{--}100.3\text{--}100.5\text{--}100.7\text{--}100.9\text{--}101.1\text{--}101.3\text{--}101.5\text{--}101.7\text{--}101.9\text{--}102.1\text{--}102.3\text{--}102.5\text{--}102.7\text{--}102.9\text{--}103.1\text{--}103.3\text{--}103.5\text{--}103.7\text{--}103.9\text{--}104.1\text{--}104.3\text{--}104.5\text{--}104.7\text{--}104.9\text{--}105.1\text{--}105.3\text{--}105.5\text{--}105.7\text{--}105.9\text{--}106.1\text{--}106.3\text{--}106.5\text{--}106.7\text{--}106.9\text{--}107.1\text{--}107.3\text{--}107.5\text{--}107.7\text{--}107.9\text{--}108.1\text{--}108.3\text{--}108.5\text{--}108.7\text{--}108.9\text{--}109.1\text{--}109.3\text{--}109.5\text{--}109.7\text{--}109.9\text{--}110.1\text{--}110.3\text{--}110.5\text{--}110.7\text{--}110.9\text{--}111.1\text{--}111.3\text{--}111.5\text{--}111.7\text{--}111.9\text{--}112.1\text{--}112.3\text{--}112.5\text{--}112.7\text{--}112.9\text{--}113.1\text{--}113.3\text{--}113.5\text{--}113.7\text{--}113.9\text{--}114.1\text{--}114.3\text{--}114.5\text{--}114.7\text{--}114.9\text{--}115.1\text{--}115.3\text{--}115.5\text{--}115.7\text{--}115.9\text{--}116.1\text{--}116.3\text{--}116.5\text{--}116.7\text{--}116.9\text{--}117.1\text{--}117.3\text{--}117.5\text{--}117.7\text{--}117.9\text{--}118.1\text{--}118.3\text{--}118.5\text{--}118.7\text{--}118.9\text{--}119.1\text{--}119.3\text{--}119.5\text{--}119.7\text{--}119.9\text{--}120.1\text{--}120.3\text{--}120.5\text{--}120.7\text{--}120.9\text{--}121.1\text{--}121.3\text{--}121.5\text{--}121.7\text{--}121.9\text{--}122.1\text{--}122.3\text{--}122.5\text{--}122.7\text{--}122.9\text{--}123.1\text{--}123.3\text{--}123.5\text{--}123.7\text{--}123.9\text{--}124.1\text{--}124.3\text{--}124.5\text{--}124.7\text{--}124.9\text{--}125.1\text{--}125.3\text{--}125.5\text{--}125.7\text{--}125.9\text{--}126.1\text{--}126.3\text{--}126.5\text{--}126.7\text{--}126.9\text{--}127.1\text{--}127.3\text{--}127.5\text{--}127.7\text{--}127.9\text{--}128.1\text{--}128.3\text{--}128.5\text{--}128.7\text{--}128.9\text{--}129.1\text{--}129.3\text{--}129.5\text{--}129.7\text{--}129.9\text{--}130.1\text{--}130.3\text{--}130.5\text{--}130.7\text{--}130.9\text{--}131.1\text{--}131.3\text{--}131.5\text{--}131.7\text{--}131.9\text{--}132.1\text{--}132.3\text{--}132.5\text{--}132.7\text{--}132.9\text{--}133.1\text{--}133.3\text{--}133.5\text{--}133.7\text{--}133.9\text{--}134.1\text{--}134.3\text{--}134.5\text{--}134.7\text{--}134.9\text{--}135.1\text{--}135.3\text{--}135.5\text{--}135.7\text{--}135.9\text{--}136.1\text{--}136.3\text{--}136.5\text{--}136.7\text{--}136.9\text{--}137.1\text{--}137.3\text{--}137.5\text{--}137.7\text{--}137.9\text{--}138.1\text{--}138.3\text{--}138.5\text{--}138.7\text{--}138.9\text{--}139.1\text{--}139.3\text{--}139.5\text{--}139.7\text{--}139.9\text{--}140.1\text{--}140.3\text{--}140.5\text{--}140.7\text{--}140.9\text{--}141.1\text{--}141.3\text{--}141.5\text{--}141.7\text{--}141.9\text{--}142.1\text{--}142.3\text{--}142.5\text{--}142.7\text{--}142.9\text{--}143.1\text{--}143.3\text{--}143.5\text{--}143.7\text{--}143.9\text{--}144.1\text{--}144.3\text{--}144.5\text{--}144.7\text{--}144.9\text{--}145.1\text{--}145.3\text{--}145.5\text{--}145.7\text{--}145.9\text{--}146.1\text{--}146.3\text{--}146.5\text{--}146.7\text{--}146.9\text{--}147.1\text{--}147.3\text{--}147.5\text{--}147.7\text{--}147.9\text{--}148.1\text{--}148.3\text{--}148.5\text{--}148.7\text{--}148.9\text{--}149.1\text{--}149.3\text{--}149.5\text{--}149.7\text{--}149.9\text{--}150.1\text{--}150.3\text{--}150.5\text{--}150.7\text{--}150.9\text{--}151.1\text{--}151.3\text{--}151.5\text{--}151.7\text{--}151.9\text{--}152.1\text{--}152.3\text{--}152.5\text{--}152.7\text{--}152.9\text{--}153.1\text{--}153.3\text{--}153.5\text{--}153.7\text{--}153.9\text{--}154.1\text{--}154.3\text{--}154.5\text{--}154.7\text{--}154.9\text{--}155.1\text{--}155.3\text{--}155.5\text{--}155.7\text{--}155.9\text{--}156.1\text{--}156.3\text{--}156.5\text{--}156.7\text{--}156.9\text{--}157.1\text{--}157.3\text{--}157.5\text{--}157.7\text{--}157.9\text{--}158.1\text{--}158.3\text{--}158.5\text{--}158.7\text{--}158.9\text{--}159.1\text{--}159.3\text{--}159.5\text{--}159.7\text{--}159.9\text{--}160.1\text{--}160.3\text{--}160.5\text{--}160.7\text{--}160.9\text{--}161.1\text{--}161.3\text{--}161.5\text{--}161.7\text{--}161.9\text{--}162.1\text{--}162.3\text{--}162.5\text{--}162.7\text{--}162.9\text{--}163.1\text{--}163.3\text{--}163.5\text{--}163.7\text{--}163.9\text{--}164.1\text{--}164.3\text{--}164.5\text{--}164.7\text{--}164.9\text{--}165.1\text{--}165.3\text{--}165.5\text{--}165.7\text{--}165.9\text{--}166.1\text{--}166.3\text{--}166.5\text{--}166.7\text{--}166.9\text{--}167.1\text{--}167.3\text{--}167.5\text{--}167.7\text{--}167.9\text{--}168.1\text{--}168.3\text{--}168.5\text{--}168.7\text{--}168.9\text{--}169.1\text{--}169.3\text{--}169.5\text{--}169.7\text{--}169.9\text{--}170.1\text{--}170.3\text{--}170.5\text{--}170.7\text{--}170.9\text{--}171.1\text{--}171.3\text{--}171.5\text{--}171.7\text{--}171.9\text{--}172.1\text{--}172.3\text{--}172.5\text{--}172.7\text{--}172.9\text{--}173.1\text{--}173.3\text{--}173.5\text{--}173.7\text{--}173.9\text{--}174.1\text{--}174.3\text{--}174.5\text{--}174.7\text{--}174.9\text{--}175.1\text{--}175.3\text{--}175.5\text{--}175.7\text{--}175.9\text{--}176.1\text{--}176.3\text{--}176.5\text{--}176.7\text{--}176.9\text{--}177.1\text{--}177.3\text{--}177.5\text{--}177.7\text{--}177.9\text{--}178.1\text{--}178.3\text{--}178.5\text{--}178.7\text{--}178.9\text{--}179.1\text{--}179.3\text{--}179.5\text{--}179.7\text{--}179.9\text{--}180.1\text{--}180.3\text{--}180.5\text{--}180.7\text{--}180.9\text{--}181.1\text{--}181.3\text{--}181.5\text{--}181.7\text{--}181.9\text{--}182.1\text{--}182.3\text{--}182.5\text{--}182.7\text{--}182.9\text{--}183.1\text{--}183.3\text{--}183.5\text{--}183.7\text{--}183.9\text{--}184.1\text{--}184.3\text{--}184.5\text{--}184.7\text{--}184.9\text{--}185.1\text{--}185.3\text{--}185.5\text{--}185.7\text{--}185.9\text{--}186.1\text{--}186.3\text{--}186.5\text{--}186.7\text{--}186.9\text{--}187.1\text{--}187.3\text{--}187.5\text{--}187.7\text{--}187.9\text{--}188.1\text{--}188.3\text{--}188.5\text{--}188.7\text{--}188.9\text{--}189.1\text{--}189.3\text{--}189.5\text{--}189.7\text{--}189.9\text{--}190.1\text{--}190.3\text{--}190.5\text{--}190.7\text{--}190.9\text{--}191.1\text{--}191.3\text{--}191.5\text{--}191.7\text{--}191.9\text{--}192.1\text{--}192.3\text{--}192.5\text{--}192.7\text{--}192.9\text{--}193.1\text{--}193.3\text{--}193$

معمولی مانند انبردست از محل شیار شکسته شدند. در انتهای سطح شکست ایجاد شده بهوسیله میکروسکوپ الکترونی روبشی مورد بررسی قرار گرفت.

### اندازه‌گیری خصوصیات دیالکتریک

برای اندازه‌گیری خصوصیات دیالکتریک از الگوریتم پیشنهاد شده توسط منتصری [۲۳] استفاده شد. در این روش، نفوذ پذیری الکتریکی مخلوط بر اساس روش نیکلسون، رس، ویر اما بدون نیاز به اندازه‌گیری فاز و تنها با داشتن یک نمودار که می‌تواند اندازه پارامتر تفرق<sup>۱</sup> S<sub>11</sub> یا S<sub>22</sub> باشد، بهدست آید. بنابراین نمونه‌های تهیه شده با استفاده از موج بر<sup>۲</sup> باند ایکس با ابعاد ۲۲/۸mm و ۱۰/۱mm و ضخامت ۱۰mm در دستگاه شبکه آنالیز کننده اسکالر تحت تابش امواج در محدوده ۸ تا ۱۲GHz قرار گرفتند و ضرایب تفرق آن‌ها استخراج شدند. سپس با استفاده از الگوریتم مورد استفاده توسط منتصری، نفوذ پذیری الکتریکی و فاکتور اتفاف آن‌ها محاسبه گردید. نمونه‌ای از کار انجام شده در شکل ۱ نشان داده شده است.

شکل ۱ نشان داده شده است.



شکل ۱- نتایج اندازه‌گیری عملی و محاسبات انجام گرفته با روش منتصری برای نمونه ۳/۰ درصد وزنی نانولوله کربنی منحنی

1- Scattering parameters

2- Wave guide

### تولید گرافن

نانو صفحات گرافنی بر اساس کار قبلی [۲۲] بهروش انبساط و احیای حرارتی تولید شد. در این روش، گرافیت به مخلوط اسید سولفیریک غلیظ و اسید نیتریک غلیظ در حمام حاوی آب و بخ افزوده شده و به تدریج کلرات پتاسیم به این مخلوط اضافه می‌شود. سپس مخلوط بهدست آمده تا زمانی که یون سولفات بهوسیله محلول کلرید باریم تشخیص داده نشود با محلول اسید هیدروکلریک شسته می‌شود. پودر بهدست آمده در این مرحله اکسید گرافیت بوده که خشک شده و در اتمسفر نیتروژن، شوک حرارتی داده می‌شود تا به گرافن تبدیل شود.

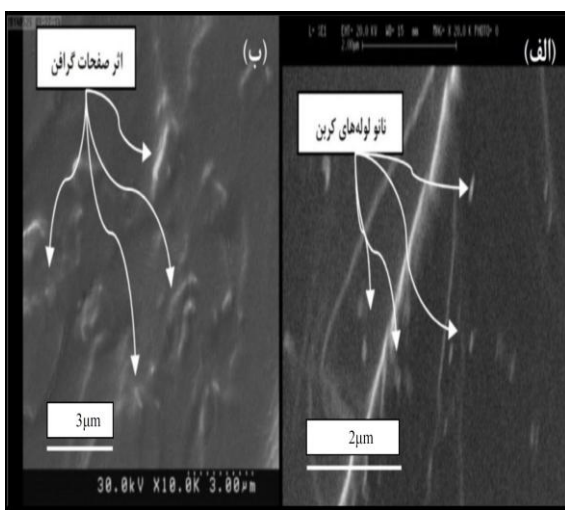
گرافن تولید شده دارای صفحات غیر منظم و در هم پیچیده می‌باشد. پهنهای صفحات و ضخامت این گرافن به ترتیب کمتر از ۳µm و ۴nm است. از طرف دیگر با توجه به فاصله صفحات در گرافیت، به طور تقریبی می‌توان گفت که گرافن تولیدی از تعداد صفحات کمتر از ۱۰ لایه تشکیل شده است.

### ساخت نمونه‌های نانوکامپوزیت

از روش ریخته‌گری برای ساخت نمونه‌های نانوکامپوزیت تا ۵/۰ درصد وزنی نانولوله کربنی یا گرافن استفاده شد. برای انجام این‌کار، نانولوله‌های کربنی یا ورقه‌های گرافن با بهره‌گیری از دستگاه التراسونیک با توان ۲۰۰W به مدت نیم ساعت در حلal استون پخش شدند. پس از آن با اضافه کردن اپوکسی، مخلوط حاصل دوباره به مدت ۸۰min در شرایط مشابه فوق هم زده شد. برای خارج سازی حلal از مخلوط، از خشک کن در دمای ۶۰°C استفاده گردید. در نهایت، هاردنر به مخلوط آماده شده اضافه شد و پس از گاز زدایی در محیط خلا، در قالب نمونه‌ها ریخته شد. لازم به ذکر است که نمونه‌ها پس از ۷ روز و رسیدن به مرحله پخت کامل، مورد آزمایش قرار گرفتند.

### بررسی پخش تقویت کننده‌ها در زمینه اپوکسی

برای بررسی نحوه پخش تقویت کننده‌ها در زمینه، ابتدا شیاری با عمق کمتر از ۱mm روی نمونه‌ها ایجاد شد. سپس نمونه‌ها به مدت ۳۰min درون نیتروژن مایع قرار گرفته و پس از آن خارج و بلافاصله با یک وسیله



شکل ۴- سطح شکست، الف) نانوکامپوزیت اپوکسی- نانولوله کربن. ب) نانوکامپوزیت اپوکسی-گرافن

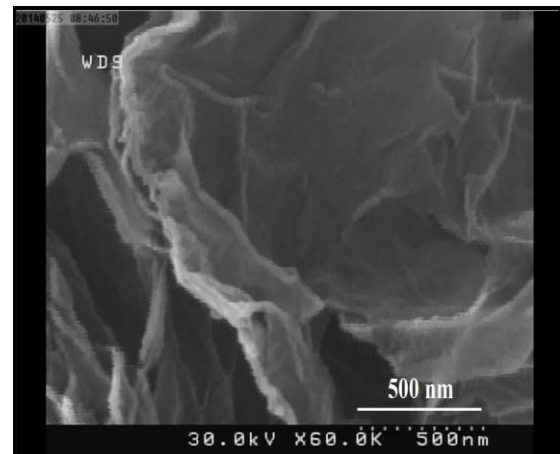
شکل ۵ نتایج به دست آمده برای بخش حقیقی نفوذ پذیری الکتریکی یا ثابت دیالکتریک، نسبت به درصد وزنی گرافن و نانولوله کربن را نشان می‌دهد. همان‌گونه که در شکل مشخص است هر دو تقویت کننده، بخش حقیقی نفوذ پذیری الکتریکی اپوکسی خالص را افزایش داده‌اند که در این میان مقدار افزایش با تقویت کننده گرافن بیش‌تر بوده است به طوری که در ۰/۵ درصد وزنی تقویت کننده به ترتیب افزایش متوسط ۳۶ و ۱۶ درصدی برای نمونه‌های گرافن و نانولوله کربنی نسبت به اپوکسی خالص به دست آمده است. با توجه به فاکتورهای ایجاد کننده خاصیت دیالکتریک در ماده از جمله پلاریزاسیون یونی، الکتریکی، جهت و فضای شارژ<sup>[۸]</sup>، می‌توان گفت که حضور گرافن یا نانولوله کربنی در زمینه پلیمری باعث ایجاد سطوح داخلی ناهمگن در اثر حضور فضاهای شارژ انباسته شده و ناهمگن در سطح داخلی می‌شوند و این امر باعث افزایش بخش حقیقی نفوذ پذیری الکتریکی اپوکسی خالص می‌شود. تأثیر بیش‌تر گرافن به دلیل سطح مؤثر بیش‌تر نسبت به نانولوله کربنی و در نتیجه ایجاد فضاهای شارژ انباسته شده و ناهمگن بیش‌تر در سطوح داخلی می‌باشد. از طرف دیگر، افزایش بیش‌تر بخش حقیقی نفوذ پذیری الکتریکی اپوکسی خالص با افزایش درصد وزنی تقویت کننده به ویژه در مورد گرافن، به دلیل تشکیل بیش‌تر سطوح داخلی ناهمگن در زمینه اپوکسی می‌باشد. همچنین، کاهش بخش حقیقی نفوذ

## نتایج و بحث

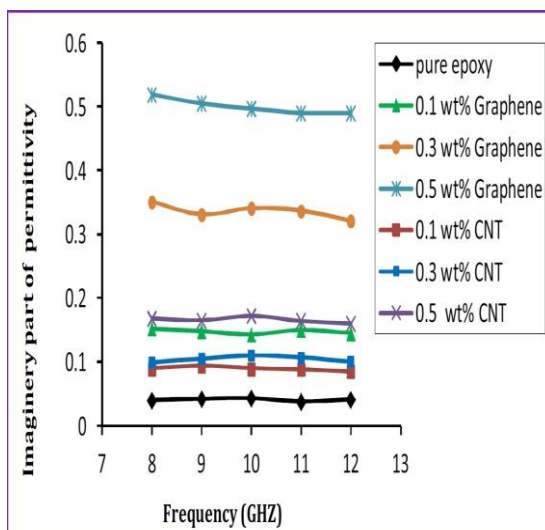
شکل‌های ۲ و ۳ به ترتیب مورفولوژی نانولوله کربن و گرافن استفاده شده در این تحقیق را نشان می‌دهد که نمایانگر اندازه آن‌ها در مقیاس نانو می‌باشد. رسیدن به شرایط و خصوصیات پیش‌بینی شده برای نانوکامپوزیت، به پخش یکنواخت تقویت کننده در زمینه بستگی دارد. به این منظور، سطح شکست نانوکامپوزیت‌های ساخته شده مورد بررسی قرار گرفتند که نمونه‌ای از آن در شکل ۴ آمده است. همان‌گونه که در این شکل مشاهده می‌شود، نانولوله‌های کربن و صفحات گرافن توزیع مناسبی در زمینه دارند.



شکل ۲- تصویر میکروسکوپ الکترونی روبشی نانولوله‌های کربنی چند دیواره خردباری شده

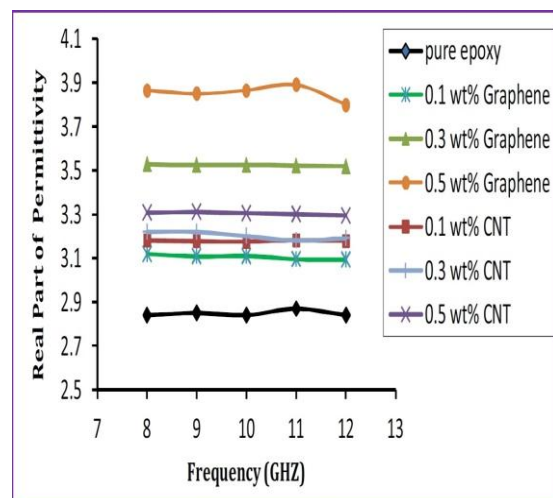


شکل ۳- تصویر میکروسکوپ الکترونی روبشی گرافن تولید شده

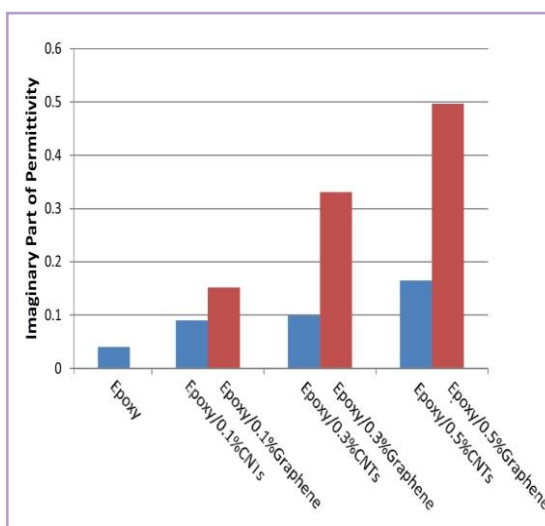


شکل ۶- مقادیر به دست آمده برای بخش موهومنی نفوذ پذیری الکتریکی نمونه‌های نانوکامپوزیت اپوکسی- نانولوله کربن و نانوکامپوزیت اپوکسی- گرافن

پذیری الکتریکی مشاهده شده با افزایش فرکانس را می‌توان به عدم تطبیق سریع جهت دوقطبی‌های موجود در سیستم در پاسخ به میدان الکتریکی نسبت داد [۸].



شکل ۵- مقادیر به دست آمده برای بخش حقیقی نفوذ پذیری الکتریکی نمونه‌های نانوکامپوزیت اپوکسی- نانولوله کربن و نانوکامپوزیت اپوکسی- گرافن

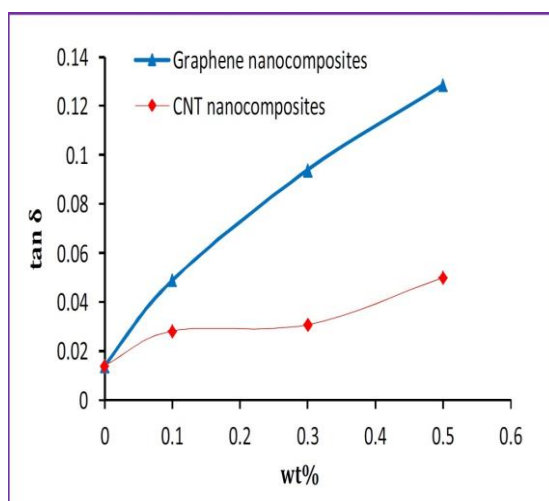


شکل ۷- مقادیر متوسط به دست آمده برای بخش موهومنی نفوذ پذیری الکتریکی نمونه‌های نانوکامپوزیت اپوکسی- نانولوله کربن و نانوکامپوزیت اپوکسی- گرافن

رابطه  $\sigma_T = \omega \epsilon_0 \epsilon''$  برای محاسبه هدایت الکتریکی کلی یا مؤثر نمونه‌ها [۱۹،۶] استفاده شد که نتایج آن در شکل ۸ آمده است. همان‌گونه که در شکل مشخص است، مقادیر  $0/22$  و  $0/325 S/m$  برای هدایت الکتریکی نمونه نانوکامپوزیت با  $0/5$  درصد وزنی گرافن بهترین بهترین ترتیب در فرکانس‌های  $8$  و  $12 GHz$  به دست آمده است. این مقادیر به طور تقریبی  $3$  برابر مقادیر به دست آمده برای نمونه

مقدار انرژی که ماده در زمان قرارگرفتن در میدان‌های الکترومغناطیسی هدر می‌دهد، به بخش موهومنی نفوذ پذیری الکتریکی بستگی دارد و در ارتباط با هدایت الکتریکی ماده است [۱]. مقادیر اندازه‌گیری شده برای بخش موهومنی نفوذ پذیری الکتریکی نمونه‌ها در درصد وزنی مختلف از گرافن و نانولوله کربن در شکل ۶ آمده است. همان‌گونه که در این شکل مشاهده می‌شود، تأثیر گرافن در افزایش بخش موهومنی نفوذ پذیری الکتریکی اپوکسی خالص به مراتب بیشتر از نانولوله کربن می‌باشد و این اختلاف با افزایش درصد وزنی تقویت گننده بیشتر می‌شود که به خوبی در شکل ۷ دیده می‌شود. در این راستا، مقدار متوسط بخش موهومنی نفوذ پذیری الکتریکی نمونه نانوکامپوزیت با  $0/5$  درصد وزنی گرافن به  $0/5$  رسیده است که  $3$  برابر نمونه نانوکامپوزیت با درصد برابر نانولوله کربن و  $12/5$  برابر اپوکسی خالص است.

گرافن برابر  $13\%$  و نمونه نانوکامپوزیت با  $5\%$  درصد وزنی نانو لوله کربن برابر  $45\%$  به دست آمده است. لازم به ذکر است که نتایج به دست آمده برای تقویت کننده گرافن و نانو لوله کربن به ترتیب با مقادیر گزارش شده در مراجع  $6$  و  $16$  مطابقت دارند. با توجه به نتایج به دست آمده، قابلیت اتصال یا جذب امواج الکترومغناطیس در نمونه‌های نانوکامپوزیت حاوی گرافن به مراتب بیشتر از نمونه‌های نانوکامپوزیت حاوی نانو لوله کربن است و برای کاربردهای جذب امواج الکترومغناطیس از سیستم‌های رادار گریز مناسب‌تر هستند.

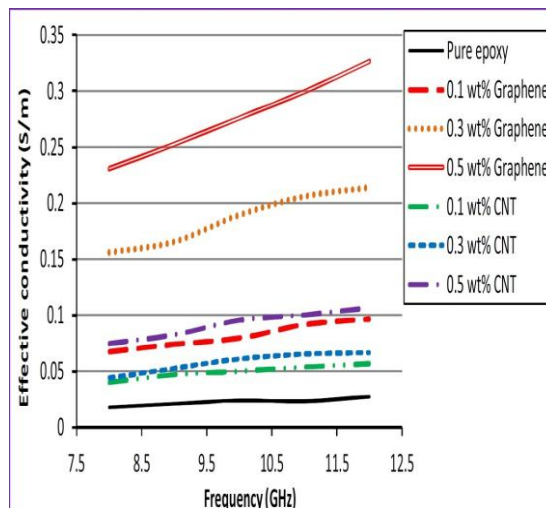


شکل ۹- فاکتور اتصال به دست آمده برای نمونه‌های نانوکامپوزیت اپوکسی - نانو لوله کربن و نانوکامپوزیت اپوکسی- گرافن

### نتیجه‌گیری

مقادیر به دست آمده برای خصوصیات الکترومغناطیس و فاکتور اتصال نانوکامپوزیت‌های اپوکسی حاوی گرافن به مراتب بیشتر از نانوکامپوزیت‌های اپوکسی حاوی نانو لوله کربن است که این اختلاف با افزایش درصد وزنی گرافن بیشتر می‌شود. به طوری که تفاوت در مقادیر به دست آمده برای این خصوصیات در نمونه نانوکامپوزیت با  $5\%$  درصد وزنی گرافن بطور متوسط  $3$  برابر نمونه نانوکامپوزیت با  $5\%$  درصد وزنی نانو لوله کربن می‌باشد. با توجه به این نتایج، نانوکامپوزیت‌های اپوکسی حاوی گرافن برای کاربرد در

نانوکامپوزیت با تقویت کننده نانو لوله کربن در شرایط مشابه می‌باشد. تأثیر بیشتر گرافن که با افزایش درصد وزنی، بیشتر هم شده است را می‌توان به هدایت الکتریکی آن و همچنین به بیشتر بودن سطح مؤثر و شکل دو بعدی آن نسبت داد. که باعث می‌شود، صفحات گرافن در زمینه اپوکسی بهم نزدیک‌تر یا به هم متصل شوند که در نتیجه آن به ترتیب مکانیزم‌های هدایت الکتریکی شامل پرش الکترونی و حرکت الکترونی بهتر عمل کرده و هدایت الکتریکی و بخش موهومی نفوذپذیری الکتریکی در این نمونه‌ها بیشتر شود. از طرف دیگر بالا رفتن هدایت الکتریکی در اثر افزایش فرکانس در شکل ۸ دیده می‌شود که در واقع مربوط به این نکته است که با افزایش فرکانس، نوسانات الکترون‌ها و احتمال قرارگرفتن آن‌ها در منطقه هدایت افزایش می‌یابد. با توجه به نتایج فوق و بالاتر بودن خصوصیات الکترومغناطیس نمونه‌های نانوکامپوزیت حاوی گرافن، می‌توان گفت که این نانوکامپوزیت‌ها برای کاربرد در محافظه‌های جلوگیری کننده از تداخل امواج الکترومغناطیس مناسب‌تر از نانوکامپوزیت‌های حاوی تقویت کننده نانو لوله کربن هستند.



شکل ۸- هدایت الکتریکی محاسبه شده برای نمونه‌های نانوکامپوزیت اپوکسی - نانو لوله کربن و نانوکامپوزیت اپوکسی- گرافن

فاکتور اتصال نمونه‌ها در شکل ۹ نشان داده شده است. فاکتور اتصال نمونه نانوکامپوزیت با  $5\%$  درصد وزنی

محافظه‌های جلوگیری کننده از تداخل امواج الکترومغناطیس و جذب امواج الکترومغناطیس از جمله سیستم‌های رادار گریز مناسب‌تر از نانوکامپوزیت‌های حاوی تقویت کننده نانو لوله کربن هستند.

### **References:**

- 1- L.F. Chen, C.K. Ong, C.P. Neo, V.V. Varadan, V.K. Varadan, *Microwave electronics- measurement and materials characterization*, p.7-8, John Wiley and Sons, England, 2004.
- 2- M. Jaroszewski, J. Ziaja, *EM Shielding-Theory and development of new materials*, Ch.4, p. 1-6, Research Signpost, Kerala, India, 2012.
- 3- R.W. Evans, "Design guidelines for shielding effectiveness, current carrying capability and enhancement of composite materials", Appendix A, Fourth Quarter of First Annual Report, NASA-CR-200790, 1996.
- 4- D. Galpaya, M. Wang, M. Liu, N. Motta, E. Waclawik, C. Yan, "Recent advances in fabrication and characterization of graphene-polymer nanocomposites", *Graphene*, Vol. 1, pp. 30-49, 2012.
- 5- K.S. Novoselov, A.K. Geim, S.V. Morozov, D. Jiang, Y. Zhang, S.V. Dubonos, I.V. Grigorieva, A.A. Firsov, "Electric field effect in atomically thin carbon films", *Science*, Vol. 306, pp. 666-9, 2004.
- 6- G. De Bellis, A. Tamburano, A. Dinescu, M.L. Santarelli, M.S. Sarto, "Electromagnetic properties of composites containing graphite nanoplatelets at radio frequency", *Carbon*, Vol. 49, pp. 4291-4300, 2011.
- 7- H. Kim, A.A. Abdala, C.W. Macosko, "Graphene/Polymer Nanocomposites", *Macromolecules*, Vol. 43, pp. 6515–6530, 2010.
- 8- A.P. Singh, P. Garg, F. Alam, K. Singh, R.B. Mathur, R.P. Tandon, A. Chandra, S.K. Dhawan, "Phenolic resin-based composite sheets filled with mixtures of reduced graphene oxide,  $\gamma\text{Fe}_2\text{O}_3$  and carbon fibers for excellent electromagnetic interference shielding in the X-band", *Carbon*, Vol. 50, pp. 3868-3875, 2012.
- 9- S.Y. Yang, W.N. Lin, Y.L. Huang, H.W. Tien, J.Y. Wang, C.C.M. Ma, S.M. Li, Y.S. Wang, "Synergetic effects of graphene platelets and carbon nanotubes on the mechanical and thermal properties of epoxy composites", *Carbon*, Vol. 49, pp. 793-803, 2011.
- 10- H. Kim, A.A. Abdala, C.W. Macosko, "Graphene/Polymer Nanocomposites", *Macromolecules*, Vol. 43, pp. 6515–6530, 2010.
- 11- D. Galpaya, M. Wang, M. Liu, N. Motta, E. Waclawik, C. Yan, "Recent advances in fabrication and characterization of graphene-polymer nanocomposites", *Graphene*, Vol. 1, pp. 30-49, 2012.

- 12- M.A. Rafiee, J. Rafiee, Z. Wang, H. Song, Z.Z. Yu, N. Koratkar, "Enhanced mechanical properties of nanocomposites at low graphene content", *ACS Nano*, Vol. 3, No. 12, pp. 3884-3890, 2009.
- سید مجتبی زبرجد، محمد هادی مقیم،  
مقدمه‌ای بر نانوکامپوزیت‌های پلیمری، واژگان خرد، ۱۳۹۴ -۱۳
- 14- M.H.Al-Saleh, , U.Sundararaj, , "Electromagnetic interference shielding mechanisms of CNT/polymer composites", *Carbon*, Vol. 47, pp. 1738-1746, 2009.
- 15- AS.Hoang, , "Electrical conductivity and electromagnetic interference shielding characteristics of multiwalled carbon nanotube filled polyurethane composite films" , *Adv. Nat. Sci.: Nanosci. Nanotechnol.* Vol. 2, pp. 5-12, 2011.
- 16- A. Gupta, V. Choudhary, "Electromagnetic interference shielding behavior of poly(trimethylene terephthalate)/multi-walled carbon nanotube composites", *Composites Science and Technology*, Vol. 71, pp. 1563–1568, 2011.
- 17- B. Li, T. Oya, "Fabrication of novel electromagnetic shielding sheets using carbon-nanotube-composite paper", *J. Surf. Sci. Nanotech.* Vol. 12, pp. 242-246, 2014.
- 18- A.L. De Paula, J.J. Barroso, M.C. Rezende, "Comparative study of the teflon electromagnetic parameters (permittivity and permeability) experimentally obtained and numerically simulated", *Int. Microwave. Optoelectronics. Conf (IMOC)*. Belem, 519-522, 2009.
- 19- S.U. Din Khan, M. Arora, M.A. Wahab, P. Saini, "Permittivity and electromagnetic interference shielding investigations of activated charcoal loaded Acrylic coating compositions", *Polymers*, Vol. 2014, pp.1-7, 2014.
- 20- G. De Bellis, I.M. De Rosa, A. Dinescu, M.S. Sarto, "Electromagnetic absorbing nanocomposites including carbon fibers, nanotubes and graphene nanoplatelets", *IEEE*, Vol. 978, pp. 202-207, 2010.
- ۲۱- رحیم اقرء، کمال جانقربان، حبیب دانش منش،  
حبیب الله عبیری، " بررسی توانایی حفاظت از تداخل  
امواج الکترومغناطیس در نانوکامپوزیت‌های اپوکسی-  
گرافن" مجله مواد نوین، جلد ۵، شماره ۴، تابستان  
۱۳۹۴ .
- 22- R. Eqra, K. Janghorban, H. Daneshmanesh, "Mechanical properties and toughening mechanism of epoxy/graphene nanocomposites", *J. Polym. Eng*, Vol. 35, pp. 257-266, 2015.
- ۲۳- منتصری، یاحقی، علی‌نژاد، " ارائه یک روش  
کاربردی و دقیق در اندازه‌گیری ثابت دی الکتریک  
مختلط مواد" کنفرانس مهندسی برق(ICEE 2012).  
تهران، ۱۳۹۱ |

